

ДИФФЕРЕНЦИАЛЬНЫЕ УРАВНЕНИЯ

И

ПРОЦЕССЫ УПРАВЛЕНИЯ

№ 4, 2024

Электронный журнал,

рег. Эл. № ФС77-39410 от 15.04.2010

ISSN 1817-2172

<http://diffjournal.spbu.ru/>

e-mail: [jodiff@mail.ru](mailto:jodiff@mail.ru)

Адаптивное и робастное управление

**Разработка адаптивного робастного регулятора на основе представления квазилинейной модели в виде тензорного произведения**

Шабашов А.А., Поздяев В.В., Плотников А.А.

АО «Арзамасское научно-производственное предприятие «ТЕМП-АВИА»

Арзамасский политехнический институт (филиал) Нижегородского государственного технического университета им. Р.Е. Алексеева

[aa.shabashov@mail.ru](mailto:aa.shabashov@mail.ru)

**Аннотация.** Рассматривается задача синтеза адаптивного робастного регулятора с использованием тензорного представления квазилинейной модели с изменяющимися параметрами. Такого вида аппроксимации нелинейных динамических систем могут быть сведены к выпуклым политопным формам в заданной области параметров. В результате к ним применимы методы выпуклого программирования, в том числе постановка задачи в терминах линейных матричных неравенств. В качестве методики для синтеза робастных регуляторов используется теория  $H_\infty$ -оптимального управления. Результатом синтеза является тензорная модель, описывающая семейство робастных регуляторов, обеспечивающих устойчивость и управляемость объекта во всей области варьируемых параметров.

**Ключевые слова:** линейные матричные неравенства, квазилинейная модель с изменяющимися параметрами, тензорное произведение, робастные регуляторы, адаптивные регуляторы.

# 1 Введение

Основные тенденции развития современных беспилотных летательных аппаратов (БПЛА) заключаются в расширении высотно-скоростных диапазонов применения и повышении маневренных характеристик при обеспечении требуемых качеств регулирования. Задача синтеза системы управления для объектов с подобными свойствами достаточно трудоёмка ввиду наличия компромиссных решений в плане аэродинамической компоновки, несовершенства силовых/исполнительных устройств и т.д. В результате классические методы не всегда позволяют производить качественный синтез контура стабилизации с требуемыми характеристиками.

Одним из подходов к синтезу адаптивных регуляторов, способных обеспечивать устойчивость и управляемость объекта в таком случае, является использование политопной формы на основе представления, полученного в результате разложения по сингулярным значениям высшего порядка (Higher-Order Singular Value Decomposition – HOSVD), квазилинейной модели с изменяющимися параметрами (quasi-Linear Parameter Varying – qLPV). Вершины такого политопа представляют собой набор стационарных матриц систем, тензорное произведение (Tensor Product – TP) которого с весовыми функциями способно восстановить исходную систему. Синтез на таком множестве позволяет обеспечить устойчивость не только в вершинах, но и во всем диапазоне варьируемых параметров. Специальные весовые функции при таком подходе образуются в результате трансформации ортонормированных столбцов сингулярных матриц, полученных на этапе применения HOSVD, в выпуклую оболочку, состоящую из множества стационарных вершин (ядра тензора) [1, 2].

Благодаря свойствам выпуклости, к такой модели применимы методы выпуклого программирования. В частности, постановка задачи в терминах аппарата линейных матричных неравенств (ЛМН) позволяет четко сформулировать требуемые ограничения на переходные и частотные характеристики, например, с помощью теории  $H_\infty$ -оптимального управления. Другим очевидным преимуществом класса TP-моделей является возможность манипулирования выпуклой оболочкой системы, позволяющая управлять не только качеством, но и разрешимостью всей задачи (не меняя требуемые ограничения) [1, 2, 3].

## 2 $H_\infty$ -оптимальное управление

В разделе приводится обобщение известных результатов синтеза регуляторов для стационарных систем с непрерывным и дискретным временем на основе теории  $H_\infty$ -оптимального управления в терминах ЛМН.

### 2.1 Постановка задачи $H_\infty$ -оптимального управления

Рассмотрим следующую стационарную систему в виде общей схемы управления (General control configuration) с непрерывным или дискретным временем, отображающую внешние входы  $w$  и управляющие входы  $u$  на управляемые выходы  $z$  и измеряемые выходы  $y$  [4]:

$$\begin{aligned} z &= P_{11}(p)u + P_{12}(p)w \\ y &= P_{21}(p)u + P_{22}(p)w \end{aligned} \quad (1)$$

с законом управления на основе динамической обратной связи по выходу:

$$u = K(p)y,$$

где  $p$  обозначает переменную преобразования Лапласа в контексте непрерывного времени и переменную  $Z$ -преобразования в контексте дискретного времени.

Передаточная функция замкнутого контура от входа  $u$  к выходу  $z$  имеет вид:

$$F_l(P, K) = P_{11} + P_{12}K(I - P_{22}K)^{-1}P_{21}.$$

Классическая задача синтеза  $H_\infty$ -оптимального управления состоит в том, чтобы найти стабилизирующий регулятор  $K$ , который минимизирует  $H_\infty$ -норму передаточной функции замкнутой системы  $F_l(P, K)$ , численно равную максимуму максимального сингулярного числа:

$$\min_K \|F_l(P, K)\|_\infty = \min_K \sup_{\bar{\sigma}} \bar{\sigma}(F_l(P, K)). \quad (2)$$

На практике обычно нет необходимости получать оптимальный регулятор, и чисто вычислительно (и теоретически) проще сконструировать субоптимальный (т.е. близкий к оптимальному в смысле нормы  $H_\infty$ ) [4]. В таком случае, пусть  $\gamma_{\min}$  – минимальное значение  $\|F_l(P, K)\|_\infty$  для всех стабилизирующих регуляторов. Тогда (2) сводится к нахождению такого стабилизирующего регулятора  $K$  при  $\gamma > \gamma_{\min}$ , что:

$$\|F_l(P, K)\|_\infty < \gamma. \quad (3)$$

В настоящее время существует несколько методик решения поставленной задачи. Одно из них основывается на совместном решении двух алгебраических уравнений Риккати с  $Q$ -параметризацией, другое на применении итерационного алгоритма Дойла и т.д. [4, 5]. Подход, используемый в настоящей работе основывается на применении леммы о вещественной ограниченности (Bounded real lemma) [5, 6], позволяющей перейти от формулировки задачи  $\gamma$ -субоптимального  $H_\infty$ -управления к постановке в терминах ЛМН, в результате решения которых может быть найдено множество субоптимальных регуляторов, включая регуляторы пониженного порядка [7, 8].

Для дальнейших рассуждений предположим, что (1) получена из следующей формы в пространстве состояний:

$$\begin{aligned} px &= Ax + B_1u + B_2w, \\ z &= C_1x + D_{11}u + D_{12}w, \\ y &= C_2x + D_{21}u + D_{22}w, \end{aligned}$$

так что

$$\begin{pmatrix} P_{11}(p) & P_{12}(p) \\ P_{21}(p) & P_{22}(p) \end{pmatrix} = \begin{pmatrix} D_{11} & D_{12} \\ D_{21} & D_{22} \end{pmatrix} + \begin{pmatrix} C_1 \\ C_2 \end{pmatrix} (pI - A)^{-1} \begin{pmatrix} B_1 & B_2 \end{pmatrix}$$

где  $A \in \mathbb{R}^{m \times m}$ .

Предварительно обозначим, что  $(A, B_2)$  – стабилизируема,  $(A, C_2)$  – наблюдаема,  $D_{22} = 0$ .

Так же получим передаточную функцию регулятора

$$K(p) = D_K + C_K(pI - A_K)^{-1}B_K \tag{4}$$

из

$$\begin{aligned} px_K &= A_Kx_K + B_Ky, \\ u &= C_Kx_K + D_Ky, \end{aligned}$$

где  $A_K \in \mathbb{R}^{k_1 \times k_1}$ .

Тогда передаточную функцию замкнутой системы с учётом (4) можно представить:

$$F_l(P, K)(p) = D_{cl} + C_{cl}(pI - A_{cl})^{-1}B_{cl}, \tag{5}$$

где

$$\begin{aligned} A_{cl} &= \begin{pmatrix} A + B_2D_KC_2 & B_2C_K \\ B_KC_2 & A_K \end{pmatrix}, & B_{cl} &= \begin{pmatrix} B_1 + B_2D_KD_{21} \\ B_KD_{21} \end{pmatrix}, \\ C_{cl} &= \begin{pmatrix} C_1 + D_{12}D_KC_2 & D_{12}C_K \end{pmatrix}, & D_{cl} &= D_{11} + D_{12}D_KD_{21}. \end{aligned}$$

Также обозначим параметры регулятора следующей матрицей:

$$\Theta := \begin{pmatrix} A_K & B_K \\ C_K & D_K \end{pmatrix} \in \mathbb{R}^{(k_1+m) \times (k_1+m)},$$

и введём следующие обозначения [5]:

$$\begin{aligned} A_0 &= \begin{pmatrix} A & 0 \\ 0 & 0_{k_1 \times k_1} \end{pmatrix}, & B_0 &= \begin{pmatrix} B_1 \\ 0 \end{pmatrix}, & C_0 &= \begin{pmatrix} C_1 & 0 \end{pmatrix}, \\ \tilde{B} &= \begin{pmatrix} 0 & B_2 \\ I_{k_1} & 0 \end{pmatrix}, & \tilde{C} &= \begin{pmatrix} 0 & I_{k_1} \\ C_2 & 0 \end{pmatrix}, & \tilde{D}_{12} &= \begin{pmatrix} 0 & D_{12} \end{pmatrix}, \\ & & \tilde{D}_{21} &= \begin{pmatrix} 0 \\ D_{21} \end{pmatrix}. \end{aligned} \quad (6)$$

Тогда с учётом (6) матрицы, описывающие замкнутую систему (5), примут вид:

$$\begin{aligned} A_{cl} &= \left( A_0 + \tilde{B}\Theta\tilde{C} \right), & B_{cl} &= \left( B_0 + \tilde{B}\Theta\tilde{D}_{21} \right), \\ C_{cl} &= \left( C_0 + \tilde{D}_{12}\Theta\tilde{C} \right), & D_{cl} &= D_{11} + \tilde{D}_{12}\Theta\tilde{D}_{21}. \end{aligned}$$

Далее приведем постановку задач синтеза  $H_\infty$ -оптимального регулятора для непрерывной и дискретной стационарных систем в терминах ЛМН [5, 7].

### 2.1.1 Синтез $H_\infty$ -оптимального управления в непрерывном времени

Для непрерывной стационарной системы задача по построению  $\gamma$ -субоптимального  $H_\infty$ -регулятора разрешима тогда и только тогда, когда существуют симметричные матрицы  $\hat{R}$ ,  $\hat{S}$ , удовлетворяющие следующей системе ЛМН:

$$\begin{pmatrix} N_r & 0 \\ 0 & I \end{pmatrix}^T \begin{pmatrix} A\hat{R} + \hat{R}A^T & \hat{R}C_1^T & B_1 \\ C_1\hat{R} & -\gamma I & D_{11} \\ B_1^T & D_{11}^T & -\gamma I \end{pmatrix} \begin{pmatrix} N_r & 0 \\ 0 & I \end{pmatrix} \prec 0, \quad (7)$$

$$\begin{pmatrix} N_s & 0 \\ 0 & I \end{pmatrix}^T \begin{pmatrix} A^T\hat{S} + \hat{S}A & \hat{S}B_1 & C_1^T \\ B_1^T\hat{S} & -\gamma I & D_{11}^T \\ C_1 & D_{11} & -\gamma I \end{pmatrix} \begin{pmatrix} N_s & 0 \\ 0 & I \end{pmatrix} \prec 0, \quad (8)$$

$$\begin{pmatrix} \hat{R} & I \\ I & \hat{S} \end{pmatrix} \succcurlyeq 0, \quad (9)$$

где  $N_r$  и  $N_s$  – базисы левого нуль-пространства  $(B_2^T, D_{12}^T)$  и правого нуль-пространства  $(C_2, D_{21})$ , соответственно.

Для численной устойчивости решения системы ЛМН матрицы  $N_r$  и  $N_s$  должны быть ортогональными. Такие базисы легко вычисляются путем разложения по сингулярным значениям матриц  $(B_2, D_{12})^T$  и  $(C_2, D_{21})$ .

Кроме того, существуют  $\gamma$ -субоптимальные регуляторы порядка  $k_1 < m$  тогда и только тогда, когда (7)–(9) выполняются для некоторых  $\hat{R}, \hat{S}$ , которые дополнительно удовлетворяют следующему условию:

$$\text{rank}(I - \hat{R}\hat{S}) \leq k_1. \quad (10)$$

Отметим, что семейство решений (7)–(9) не зависит от конкретного выбора базисов  $N_r$  и  $N_s$ .

### 2.1.2 Синтез $H_\infty$ -оптимального управления в дискретном времени

Для дискретной стационарной системы задача по построению  $\gamma$ -субоптимального  $H_\infty$ -регулятора разрешима тогда и только тогда, когда существуют симметричные матрицы  $\hat{R}$  и  $\hat{S}$ , удовлетворяющие следующей системе ЛМН:

$$\begin{pmatrix} N_r & 0 \\ 0 & I \end{pmatrix}^T \begin{pmatrix} A\hat{R}A^T - \hat{R} & A\hat{R}C_1^T & B_1 \\ C_1\hat{R}A^T & -\gamma I + C_1\hat{R}C_1^T & D_{11} \\ B_1^T & D_{11}^T & -\gamma I \end{pmatrix} \begin{pmatrix} N_r & 0 \\ 0 & I \end{pmatrix} \prec 0, \quad (11)$$

$$\begin{pmatrix} N_s & 0 \\ 0 & I \end{pmatrix}^T \begin{pmatrix} A^T\hat{S}A - \hat{S} & A^T\hat{S}B_1 & C_1^T \\ B_1^T\hat{S}A & -\gamma I + B_1^T\hat{S}B_1 & D_{11}^T \\ C_1 & D_{11} & -\gamma I \end{pmatrix} \begin{pmatrix} N_s & 0 \\ 0 & I \end{pmatrix} \prec 0, \quad (12)$$

$$\begin{pmatrix} \hat{R} & I \\ I & \hat{S} \end{pmatrix} \succcurlyeq 0, \quad (13)$$

где  $N_r$  и  $N_s$  определяются аналогично постановке задачи в непрерывном времени.

Кроме того, существуют  $\gamma$ -субоптимальные регуляторы порядка  $k_1 < m$  тогда и только тогда, когда (11)–(13) выполняются для некоторых  $\hat{R}, \hat{S}$ , которые дополнительно удовлетворяют условию (10).

## 2.2 Процедура построения регулятора

Для восстановления матрицы системы регулятора  $\Theta$  на основе решения  $\hat{R}$  и  $\hat{S}$ , требуется найти положительно определённую матрицу  $X_{cl}$  в результате решения линейного уравнения

$$\begin{bmatrix} \hat{S} & I \\ \hat{N}^T & 0 \end{bmatrix} = X_{cl} \begin{bmatrix} I & \hat{R} \\ 0 & \hat{M}^T \end{bmatrix}, \quad (14)$$

где  $\hat{M}, \hat{N}$  – полноранговые по столбцам матрицы, которые могут быть найдены на основе соотношения:

$$\hat{M}\hat{N}^T = I - \hat{R}\hat{S}. \quad (15)$$

Уравнение (15) всегда разрешимо, если  $\hat{S} \succcurlyeq 0$  и  $\hat{M}$  имеет полный ранг по столбцам [6]. Также заметим, что минимальный порядок регулятора зависит от размерностей матрицы  $X_{cl}$  или, что эквивалентно, ранга  $I - \hat{R}\hat{S}$ .

Далее представлены частные этапы построения регулятора для систем непрерывного и дискретного времени.

### 2.2.1 Построение регулятора для непрерывной системы

При разрешимости ЛМН (7)–(9) и найденном  $X_{cl} \succcurlyeq 0$ , параметры регулятора можно восстановить, разрешив следующее ЛМН относительно  $\Theta$ :

$$\begin{pmatrix} A_{cl}^T X_{cl} + X_{cl} A_{cl} & X_{cl} B_{cl} & C_{cl}^T \\ B_{cl}^T X_{cl} & -\gamma I & D_{cl}^T \\ C_{cl} & D_{cl} & -\gamma I \end{pmatrix} = \Psi_{X_{cl}} + \Phi^T \Theta^T P_{X_{cl}} + P_{X_{cl}}^T \Theta \Phi \prec 0 \quad (16)$$

где

$$\Phi := \begin{pmatrix} \tilde{C} & \tilde{D}_{21} & 0 \end{pmatrix}, \quad P_{X_{cl}} := \begin{pmatrix} \tilde{B}^T X_{cl} & 0 & \tilde{D}_{12}^T \end{pmatrix},$$

$$\Psi_{X_{cl}} := \begin{pmatrix} A_0^T X_{cl} + X_{cl} A_0 & X_{cl} B_0 & C_0^T \\ B_0^T X_{cl} & -\gamma I & D_{11}^T \\ C_0 & D_{11} & -\gamma I \end{pmatrix}.$$

### 2.2.2 Построение регулятора для дискретной системы

Аналогично задаче для непрерывной системы, при разрешимости ЛМН (11)–(13) и найденном  $X_{cl} \succcurlyeq 0$ , параметры регулятора можно восстановить,

разрешив следующее ЛМН относительно  $\Theta$ :

$$\begin{pmatrix} -X_{cl}^{-1} & A_{cl} & B_{cl} & 0 \\ A_{cl}^T & -X_{cl} & 0 & C_{cl}^T \\ B_{cl} & 0 & -\gamma I & D_{cl}^T \\ 0 & C_{cl} & D_{cl} & -\gamma I \end{pmatrix} = \Psi_{X_{cl}} + \Phi^T \Theta^T P_{X_{cl}} + P_{X_{cl}}^T \Theta \Phi \prec 0 \quad (17)$$

где

$$\Phi := \begin{pmatrix} 0 & \tilde{C} & \tilde{D}_{21} & 0 \end{pmatrix}, \quad P_{X_{cl}} := \begin{pmatrix} \tilde{B}^T & 0 & 0 & \tilde{D}_{12}^T \end{pmatrix},$$

$$\Psi_{X_{cl}} := \begin{pmatrix} -X_{cl}^{-1} & A_0 & B_0 & 0 \\ A_0^T & -X_{cl} & 0 & C_0^T \\ B_0^T & 0 & -\gamma I & D_{11}^T \\ 0 & C_0 & D_{11} & -\gamma I \end{pmatrix}.$$

Таким образом в случае синтеза на основе рассмотренных методик для стационарных систем непрерывного или дискретного времени может быть получен регулятор в форме динамической обратной связи по выходу  $K(p)$  субоптимальный по  $H_\infty$ -норме, т.е. удовлетворяющий неравенству (3).

### 3 ТР-представление qLPV модели

Нелинейная динамическая система может быть представлена в пространстве состояний с помощью qLPV модели

$$\begin{aligned} \dot{x}(t) &= A(\theta(t))x(t) + B(\theta(t))u(t) \\ y(t) &= C(\theta(t))x(t) + D(\theta(t))u(t) \end{aligned} \quad (18)$$

где  $x(t) \in \mathbb{R}^m$  – вектор состояния,  $y(t) \in \mathbb{R}^l$  – вектор измерений,  $u(t) \in \mathbb{R}^k$  – вектор управления,  $\theta(t) = [\theta_1(t) \ \theta_2(t) \ \dots \ \theta_N(t)] \in \Omega = [\theta_1^{\min} \ \theta_1^{\max}] \times [\theta_2^{\min} \ \theta_2^{\max}] \times \dots \times [\theta_N^{\min} \ \theta_N^{\max}] \subset \mathbb{R}^N$  – вектор варьируемых параметров (в данном случае зависящий в т.ч. от состояния),  $\Omega$  – замкнутый гиперкуб,  $\theta_n^{\min}, \theta_n^{\max}$  – диапазоны изменения варьируемых параметров,  $N$  – количество варьируемых параметров.

Матрица системы  $S(\theta(t))$  такой модели является функцией переменных вектора состояния  $x(t)$  и имеет следующий вид:

$$S(\theta(t)) = \begin{pmatrix} A(\theta(t)) & B(\theta(t)) \\ C(\theta(t)) & D(\theta(t)) \end{pmatrix} \in \mathbb{R}^{(m+k) \times (m+l)}. \quad (19)$$



Сформируем т.н. ТР-представление модели [1]. Матрица (19) как функция от  $\theta(t)$  может быть аппроксимирована параметризованной линейной комбинацией стационарных систем

$$S_r = \begin{pmatrix} A_r & B_r \\ C_r & D_r \end{pmatrix} \in \mathbb{R}^{(m+k) \times (m+l)}, \quad r = 1, \dots, R,$$

тогда (19) имеет вид:

$$S(\theta(t)) \approx \sum_{r=1}^R w_r(\theta(t)) S_r, \quad (20)$$

где  $w_r : \mathbb{R}^N \rightarrow \mathbb{R}$  – весовые функции, обладающие свойствами

$$w_r(\theta(t)) \in [0 \ 1], \quad \sum_{r=1}^R w_r(\theta(t)) = 1. \quad (21)$$

Весовые функции  $w_r(\theta(t))$  имеют вид

$$w_r(\theta(t)) = \prod_{n=1}^N w_{n,i_n}(\theta_n(t)),$$

т.е.

$$\begin{aligned} w_1(\theta(t)) &= w_{1,1}(\theta_1(t)) \times \dots \times w_{N,1}(\theta_N(t)) \\ w_2(\theta(t)) &= w_{1,1}(\theta_1(t)) \times \dots \times w_{N,2}(\theta_N(t)) \\ &\vdots \\ w_R(\theta(t)) &= w_{1,I_1}(\theta_1(t)) \times \dots \times w_{N,I_N}(\theta_N(t)) \end{aligned} \quad (22)$$

где  $R = I_1 \times I_2 \times \dots \times I_N$  – количество вершин политопной модели,  $I_n$  – верхние границы индексов весовых функций, используемых в  $n$ -ой размерности вектора варьируемых параметров  $\theta(t)$ ,  $w_{n,i_n} : \mathbb{R} \rightarrow \mathbb{R}$  –  $i_n$ -я скалярная весовая функция, определённая для  $n$ -ой размерности гиперкуба  $\Omega$ ,  $i_n = 1, 2, \dots, I_N$ .

Далее будем считать нумерации  $r = 1, \dots, R$  и  $(i_1, i_2, \dots, i_N) = (1, 1, \dots, 1), \dots, (I_1, I_2, \dots, I_N)$  эквивалентными в соответствии с упорядочением, представленным (22).

Используя вышесказанное, формулу (20) также можно записать в следующем виде:

$$S(\theta(t)) \approx \sum_{i_1=1}^{I_1} \sum_{i_2=1}^{I_2} \dots \sum_{i_N=1}^{I_N} \prod_{n=1}^N w_{n,i_n}(\theta_n(t)) S_{i_1, i_2, \dots, i_N} = \mathcal{S} \boxtimes_{n=1}^N W_n(\theta_n),$$

где  $\sum_{i_1=1}^{I_1} \sum_{i_2=1}^{I_2} \cdots \sum_{i_N=1}^{I_N}$  замена  $\sum_{r=1}^R$ ,  $S_{i_1, i_2, \dots, i_N} = S_r$ ,  $W_n \in \mathbb{R}^{I_n}$  – вектор весовых функций, состоящий из  $w_{n, i_n}(\theta_n(t))$ ,  $\mathcal{S} \in \mathbb{R}^{I_1 \times I_2 \times \dots \times I_N \times (m+k) \times (m+l)}$  – набор стационарных моделей  $S_{i_1, i_2, \dots, i_N} \in \mathbb{R}^{(m+k) \times (m+l)}$  – ядро тензора,  $\boxtimes$  – знак тензорного произведения.

Форма (20) является политопным представлением матрицы (19). Тогда (18) можно записать как:

$$\begin{pmatrix} \dot{x}(t) \\ y(t) \end{pmatrix} \approx \mathcal{S} \boxtimes_{n=1}^N W_n(\theta_n) \begin{pmatrix} x(t) \\ u(t) \end{pmatrix}. \quad (23)$$

В результате политопная модель (23) представляет собой аппроксимацию исходной qLPV модели (типичный уровень погрешности см. в разд. 5, табл. 2). TP-модель по сравнению с (18) имеет ряд преимуществ. Во-первых, фиксированная структура, которая подразумевает собой ограниченное количество исследуемых стационарных систем (вершин политопа). Во-вторых, выпуклые свойства (21) позволяют применить к (23) аппарат ЛМН для решения задач управления. Таким образом, в ходе разработки политопной модели достигается компромисс между сложностью и точностью с сохранением поведения исходной qLPV модели, достаточного для адекватности получаемых результатов в ходе проведения синтеза регуляторов.

Для получения TP-представления qLPV модели на первом шаге необходимо провести сэмплирование функции (19) по всем компонентам вектора варьируемых параметров  $\theta$ . Далее, с целью редукции полученного тензора, зачастую используют алгоритм HOSVD и его вариации Reduced HOSVD (RHOSVD) и Compact HOSVD (CHOSVD) [1]. В ходе применения HOSVD вычисляются вершины TP-модели  $S_{i_1, i_2, \dots, i_N}$  и матрицы, состоящие из сингулярных векторов, представляющих собой множества сэмплов весовых функций (сингулярные матрицы). Значения весовых функций  $w_{n, i_n}(\theta_n(t))$  для произвольных значений аргументов на практике получают интерполяцией. Точность представления qLPV модели при таком подходе зависит главным образом от размера сетки сэмплирования и желаемого уровня редукции исходного тензора (размера редуцированной сетки). Альтернативными методами получения политопной модели в форме (23) может быть аппроксимация с помощью нечётких систем, нейронных сетей и т.д. [9].

Необходимые свойства (21) выпуклой оболочки формируются в результате специальной линейной трансформации сингулярных матриц, полученных на этапе применения HOSVD. Отдельным вопросом является исследование влияния выпуклых свойств TP-модели на разрешимость задачи синтеза.

Так, для конструирования регулятора наиболее предпочтительными являются более плотные выпуклые оболочки, например, типа CNO или NO, а для построения наблюдателей – разреженные, например, типа RNO. Исследование влияния типов выпуклых форм ТР-моделей рассматривается в работах [3, 10, 11, 12, 13].

## 4 Методика синтеза адаптивного робастного регулятора

Объединим результаты разд. 2 и разд. 3 в виде методики синтеза адаптивного робастного регулятора. Применяв рассмотренную теорию  $H_\infty$ -оптимального управления, мы получим множество регуляторов для вершин политопной модели в итоге общего решения выпуклой оптимизационной задачи, тем самым обеспечивая робастные свойства. Адаптивность регулятора достигается использованием аппарата тензорной алгебры в виде объединения множества регуляторов в тензор и его соответствующего произведения с весовыми функциями.

### 4.1 Постановка задачи $H_\infty$ -оптимального управления для ТР-представления qLPV системы

Пусть задана qLPV система в следующем виде:

$$\begin{aligned} px &= A(\theta)x + B_1(\theta)w + B_2(\theta)u, \\ z &= C_1(\theta)x + D_{11}(\theta)w + D_{12}(\theta)u, \\ y &= C_2(\theta)x + D_{21}(\theta)w + D_{22}(\theta)u. \end{aligned} \tag{24}$$

Тогда задача по построению  $\gamma$ -субоптимального  $H_\infty$ -управления с динамической обратной связью по выходу

$$\begin{pmatrix} px_K \\ u \end{pmatrix} = \begin{pmatrix} A_K(\theta) & B_K(\theta) \\ C_K(\theta) & D_K(\theta) \end{pmatrix} \begin{pmatrix} x_K \\ y \end{pmatrix} \tag{25}$$

сводится к нахождению такого стабилизирующего регулятора  $K(\theta)$ , что при  $\gamma > \gamma_{\min}$ :

$$\|F_l(P(\theta), K(\theta))\|_\infty < \gamma.$$

Для решения поставленной задачи с помощью методов, приведенных в п. 4.2, необходимо выполнение следующих условий:

- матрицы  $B_2(\theta) = B_2$ ,  $C_2(\theta) = C_2$ ,  $D_{12}(\theta) = D_{12}$ ,  $D_{21}(\theta) = D_{21}$  (т.е. не зависят от параметров);
- пары  $(A(\theta), B_2)$  должны быть стабилизируемы и пары  $(A(\theta), C_2)$  должны быть наблюдаемы для  $\forall \theta \in \Omega$ ;
- $D_{22}(\theta) = 0$ .

Запишем соответствующие матрицы систем для (24) и (25):

$$S(\theta) = \begin{pmatrix} A(\theta) & B_1(\theta) & B_2 \\ C_1(\theta) & D_{11}(\theta) & D_{12} \\ C_2 & D_{21} & 0 \end{pmatrix} \in \mathbb{R}^{(m+k) \times (m+l)}, \quad (26)$$

$$\Theta(\theta) = \begin{pmatrix} A_K(\theta) & B_K(\theta) \\ C_K(\theta) & D_K(\theta) \end{pmatrix} \in \mathbb{R}^{(k_1+m) \times (k_1+m)}. \quad (27)$$

Используя результаты, приведенные в разделе 3, получим ТР-представление матрицы системы (26). Тогда (24) может быть представлена следующей политоппной ТР-моделью:

$$\begin{pmatrix} px \\ z \\ y \end{pmatrix} = S(\theta) \begin{pmatrix} x \\ w \\ u \end{pmatrix} \approx \mathcal{S} \boxtimes_{n=1}^N W_n(\theta_n) \begin{pmatrix} x \\ w \\ u \end{pmatrix} = \sum_{i=1}^R (w_i(\theta) S_i) \begin{pmatrix} x \\ w \\ u \end{pmatrix},$$

а соответствующий ей регулятор будем искать в виде:

$$\begin{pmatrix} px_K \\ u \end{pmatrix} = \Theta(\theta) \begin{pmatrix} x_K \\ y \end{pmatrix} \approx \hat{\Theta} \boxtimes_{n=1}^N W_n(\theta_n) \begin{pmatrix} x_K \\ y \end{pmatrix} = \sum_{i=1}^R (w_i(\theta) \Theta_i) \begin{pmatrix} x_K \\ y \end{pmatrix},$$

где  $\hat{\Theta}$  – ядро тензора, представляющее собой набор линейных стационарных матриц систем регулятора,

$$S_i = \begin{pmatrix} A_i & B_{1i} & B_2 \\ C_{1i} & D_{11i} & D_{12} \\ C_2 & D_{21} & 0 \end{pmatrix}, \quad \Theta_i = \begin{pmatrix} A_{Ki} & B_{Ki} \\ C_{Ki} & D_{Ki} \end{pmatrix}, \quad i = 1, \dots, R.$$

Традиционный подход к работе с ТР-представлениями систем, рассматриваемый в работах [1, 2], подразумевает подстановку выражений вида  $A = \sum_{r=1}^R w_r(\theta(t))A_r$ ,  $P = \sum_{r=1}^R w_r(\theta(t))P_r$  и т.п. в базовое ЛМН, раскрытие скобок и консервативную трансформацию получившегося выражения в систему ЛМН, имеющих структуру, идентичную исходному, но записанных относительно матриц  $A_r$ ,  $P_r$  и т.д. Новая система ЛМН гарантирует асимптотическую устойчивость замкнутого контура при изменении варьируемых параметров. К сожалению, применение таких методик сопряжено со значительным увеличением количества ЛМН, что может ухудшить качество получаемого результата и сходимость метода их решения. Устранение подобных недостатков может быть произведено с помощью манипуляций свойствами выпуклой оболочки путём её реконструкции или комбинированием с другой ТР-моделью [10]. Однако для изначально плохо разрешимых задач синтеза подобные техники не всегда могут обеспечить положительные результаты — например, для перегрузочных контуров стабилизации БПЛА, характеризующихся малыми областями устойчивости.

При рассмотрении плотных выпуклых оболочек типа СНО или НО, эффективность применения которых для задач синтеза регуляторов отмечена в работах [1, 2], можно предположить, что данные оболочки достаточно хорошо описывают реальную область изменения параметров системы. Тогда в качестве альтернативной методики могут быть применимы техники робастного синтеза для qLPV систем, предложенные в работах [5, 6, 7]. В терминах исходного метода это эквивалентно отбрасыванию новых ЛМН с участием «перекрестных произведений» вида  $A_1^T P_2 + P_2 A_1$  и т.п., связывающих элементы разных вершин ТР-представления. Аналогичный эффект имел бы место, если веса  $w_i(\theta)$  являлись бы набором взаимно ортогональных индикаторных функций, и  $\forall i, j \neq i : w_i(\theta)w_j(\theta) = 0$ . Следует отметить, что такая интерпретация уменьшает строгость метода, и полученные на её основе решения нуждаются в дополнительной валидации.

## 4.2 Масштабирование $H_\infty$ -оптимального управления на политопный случай

Согласно результатам, приведенным в работе [6], для непрерывной политопной модели задача по построению  $\gamma$ -субоптимального  $H_\infty$  ТР-регулятора разрешима тогда и только тогда, когда существуют симметричные матрицы  $\hat{R}$ ,

$\hat{S}$ , удовлетворяющие следующей системе из  $2R + 1$  ЛМН:

$$\begin{pmatrix} N_r & 0 \\ 0 & I \end{pmatrix}^T \begin{pmatrix} A_i \hat{R} + \hat{R} A_i^T & \hat{R} C_{1i}^T & B_{1i} \\ C_{1i} \hat{R} & -\gamma I & D_{11i} \\ B_{1i}^T & D_{11i}^T & -\gamma I \end{pmatrix} \begin{pmatrix} N_r & 0 \\ 0 & I \end{pmatrix} \prec 0, \quad (28)$$

$$\begin{pmatrix} N_s & 0 \\ 0 & I \end{pmatrix}^T \begin{pmatrix} A_i^T \hat{S} + \hat{S} A_i & \hat{S} B_{1i} & C_{1i}^T \\ B_{1i}^T \hat{S} & -\gamma I & D_{11i}^T \\ C_{1i} & D_{11i} & -\gamma I \end{pmatrix} \begin{pmatrix} N_s & 0 \\ 0 & I \end{pmatrix} \prec 0, \quad (29)$$

$$\begin{pmatrix} \hat{R} & I \\ I & \hat{S} \end{pmatrix} \succcurlyeq 0, \quad (30)$$

где  $i = 1, \dots, R$ .

Аналогично, для дискретной политоппной модели необходимо найти симметричные матрицы  $\hat{R}$ ,  $\hat{S}$ , удовлетворяющие следующей системе из  $2R + 1$  ЛМН:

$$\begin{pmatrix} N_r & 0 \\ 0 & I \end{pmatrix}^T \begin{pmatrix} A_i \hat{R} A_i^T - \hat{R} & A_i \hat{R} C_{1i}^T & B_{1i} \\ C_{1i} \hat{R} A_i^T & -\gamma I + C_{1i} \hat{R} C_{1i}^T & D_{11i} \\ B_{1i}^T & D_{11i}^T & -\gamma I \end{pmatrix} \begin{pmatrix} N_r & 0 \\ 0 & I \end{pmatrix} \prec 0, \quad (31)$$

$$\begin{pmatrix} N_s & 0 \\ 0 & I \end{pmatrix}^T \begin{pmatrix} A_i^T \hat{S} A_i - \hat{S} & A_i^T \hat{S} B_{1i} & C_{1i}^T \\ B_{1i}^T \hat{S} A_i & -\gamma I + B_{1i}^T \hat{S} B_{1i} & D_{11i}^T \\ C_{1i} & D_{11i} & -\gamma I \end{pmatrix} \begin{pmatrix} N_s & 0 \\ 0 & I \end{pmatrix} \prec 0, \quad (32)$$

$$\begin{pmatrix} \hat{R} & I \\ I & \hat{S} \end{pmatrix} \succcurlyeq 0, \quad (33)$$

где  $i = 1, \dots, R$ .

$N_r$  и  $N_s$  так же являются базами левого нуль-пространства  $(B_2^T, D_{12}^T)$  и правого нуль-пространства  $(C_2, D_{21})$  соответственно.

Кроме того, существуют  $\gamma$ -субоптимальные регуляторы порядка  $k_1 < m$  тогда и только тогда, когда  $\hat{R}$ ,  $\hat{S}$  дополнительно удовлетворяют условию (10).

Если системы ЛМН (28)–(30) или (31)–(33) разрешимы относительно пар  $\hat{R}$ ,  $\hat{S}$ , то задача синтеза  $H_\infty$ -субоптимального управления политоппной ТР-моделью разрешима. Тогда на каждой вершине можно изолированно построить регулятор на основе уравнений (14), (15) и (16) или (17), удовлетворяющий заданным требованиям.

### 4.3 Анализ асимптотической устойчивости

Упомянутое в конце п. 4.1 отбрасывание части неравенств ввиду предположения об их выпуклых свойствах позволило существенно сократить размер формальной задачи синтеза ТР-регулятора, что в целом положительно влияет на её разрешимость и снижает вычислительную нагрузку. Однако результатом также является потеря гарантий на асимптотическую устойчивость замкнутого контура с полученным ТР-регулятором, что в общем случае недопустимо и порождает необходимость в дополнительной проверке устойчивости.

Используя (24) и (25), с учетом  $B_2(\theta) = B_2$ ,  $C_2(\theta) = C_2$ , запишем дифференциальные уравнения замкнутой системы «объект управления – регулятор» в форме пространства состояний

$$p x_{cl} = A_{cl}(\theta) x_{cl}, \quad (34)$$

где

$$x_{cl} = \begin{pmatrix} x \\ x_K \end{pmatrix}, \quad A_{cl}(\theta) = \begin{pmatrix} A(\theta) + B_2 D_K(\theta) C_2 & B_2 C_K(\theta) \\ B_K(\theta) C_2 & A_K(\theta) \end{pmatrix} = A_0(\theta) + \tilde{B} \Theta(\theta) \tilde{C},$$

$$A_0(\theta) = \begin{pmatrix} A(\theta) & 0 \\ 0 & 0_{k_1 \times k_1} \end{pmatrix}, \quad \tilde{B} = \begin{pmatrix} 0 & B_2 \\ I_{k_1} & 0 \end{pmatrix}, \quad \tilde{C} = \begin{pmatrix} 0 & I_{k_1} \\ C_2 & 0 \end{pmatrix}.$$

Достаточным условием асимптотической устойчивости системы (34) является существование функции Ляпунова в виде квадратичной формы [14]:

$$V(x_{cl}) = x_{cl}^T P x_{cl}, \quad (35)$$

обладающей следующими свойствами:

- $V(x_{cl}) \geq 0$  для  $\forall x_{cl}$ , причём  $V(x_{cl}) = 0$ , только при  $x_{cl} = 0$ ;
- $pV(x_{cl}(t)) < 0$ ,

где  $P = P^T \succ 0$ ,  $x_{cl}$  – ненулевое решение замкнутой системы.

Тогда, следуя методике синтеза ТР-регуляторов из работ [1, 2], существование функции Ляпунова (35) может быть гарантировано разрешимостью следующей системы ЛМН:

$$M_r \prec 0, \quad P \succ 0, \quad (36)$$

где  $M_r = A_{cl}^{rT} P + P A_{cl}^r$  – для непрерывной системы,  $M_r = A_{cl}^{rT} P A_{cl}^r - P$  – для дискретной системы,  $A_{cl}^r = \begin{pmatrix} A^r + B_2 D_K^r C_2 & B_2 C_K^r \\ B_K^r C_2 & A_K^r \end{pmatrix}$  – матрица замкнутой системы из вершины  $r$ ,  $r = 1, \dots, R$ .

В случае разрешимости (36) разработанный регулятор на основе (28)–(30) и (31)–(33) обеспечивает асимптотическую устойчивость замкнутого контура.

## 5 Численное моделирование

Нелинейная изолированная модель бокового движения БПЛА может иметь следующий вид [15, 16]:

$$\begin{aligned} \dot{\beta} &= \omega_y + c_z \frac{\rho(H) V_a(H) M}{2m} S, \\ \dot{\omega}_y &= m_y \frac{\rho(H) V_a^2(H) M^2}{2J_y} S b_a, \\ \dot{\psi} &= \omega_y, \\ \Psi &= \psi - \beta, \\ n_z &= c_z \frac{\rho(H) V_a^2(H) M^2}{2mg(H)} S, \end{aligned} \tag{37}$$

где  $\Psi, \psi, \beta$  – углы пути, рыскания и скольжения [рад],  $\omega_y$  – угловая скорость рыскания [рад/с],  $c_z, m_y$  – аэродинамические коэффициенты силы и момента,  $J_y$  – момент инерции, относительно оси  $Oy$  [кг · м<sup>2</sup>],  $n_z$  – боковая перегрузка [ $g$ ],  $\rho(H)$  – плотность воздуха [кг/м<sup>3</sup>],  $V_a(H)$  – скорость звука [м/с],  $g(H)$  – ускорение свободного падения [м/с<sup>2</sup>],  $H$  – высота [м],  $M$  – число Маха,  $m$  – масса [кг],  $S$  – характерная площадь [м<sup>2</sup>],  $b_a$  – характерный размер [м].

Модель привода для рассматриваемого объекта имеет вид:

$$T_H \dot{\delta}_H + \delta_H = \delta_H^{\text{зад}}, \tag{38}$$

где  $\delta_H$  – угол отклонения руля направления [рад],  $\delta_H^{\text{зад}}$  – управляющий сигнал в боковом канале [рад],  $T_H$  – постоянная времени привода [с].

Представив аэродинамические коэффициенты в виде

$$\begin{aligned} c_z(M, \beta, \delta_H) &= c_{z\beta}(M, \beta, \delta_H) \cdot \beta + c_{z\delta_H}(M, \beta, \delta_H) \cdot \delta_H + c_{z0}(M), \\ m_y(M, \beta, \delta_H) &= m_{y\beta}(M, \beta, \delta_H) \cdot \beta + m_{y\delta_H}(M, \beta, \delta_H) \cdot \delta_H + m_{y0}(M), \end{aligned}$$

и пренебрегая их статическими составляющими  $c_{z0}(M)$  и  $m_{y0}(M)$ , запишем модель (37) с учётом уравнения динамики привода (38) в следующей qLPV



форме:

$$\begin{aligned} \begin{bmatrix} \dot{\beta} \\ \omega_y \\ \delta_H \end{bmatrix} &= \begin{bmatrix} b_4(\theta) & 1 & b_5(\theta) \\ b_2(\theta) & 0 & b_3(\theta) \\ 0 & 0 & -T_H^{-1} \end{bmatrix} \begin{bmatrix} \beta \\ \omega_y \\ \delta_H \end{bmatrix} + \begin{bmatrix} 1 \\ 0 \\ T_H^{-1} \end{bmatrix} \delta_H^{\text{зад}}, \\ \begin{bmatrix} n_z \\ \omega_y \end{bmatrix} &= \begin{bmatrix} d_1(\theta) & 0 & d_3(\theta) \\ 0 & 1 & 0 \end{bmatrix} \begin{bmatrix} \beta \\ \omega_y \\ \delta_H \end{bmatrix}, \end{aligned} \quad (39)$$

где  $\theta = [H \ M \ \beta \ \delta_H]$  – вектор варьируемых параметров,

$$\begin{aligned} b_2(H, M, \beta, \delta_H) &= m_{y\beta}(M, \beta, \delta_H) \frac{\rho(H)V_a^2(H)M^2Sb_a}{2J_y}, \\ b_3(H, M, \beta, \delta_H) &= m_{y\delta_H}(M, \beta, \delta_H) \frac{\rho(H)V_a^2(H)M^2Sb_a}{2J_y}, \\ b_4(H, M, \beta, \delta_H) &= c_{z\beta}(M, \beta, \delta_H) \frac{\rho(H)V_a(H)MS}{2m}, \\ b_5(H, M, \beta, \delta_H) &= c_{z\delta_H}(M, \beta, \delta_H) \frac{\rho(H)V_a(H)MS}{2m}, \\ d_1(H, M, \beta, \delta_H) &= c_{z\beta}(M, \beta, \delta_H) \frac{\rho(H)V_a^2(H)M^2S}{2mg(H)}, \\ d_3(H, M, \beta, \delta_H) &= c_{z\delta_H}(M, \beta, \delta_H) \frac{\rho(H)V_a^2(H)M^2S}{2mg(H)}. \end{aligned}$$

Получим ТР-представление qLPV модели (39), точность которого будем оценивать по следующим критериям:

$$\begin{aligned} E_{\max} &= \max_{i=1, \dots, n_s} \left\| (S_{lpv}(\theta^i) - S_{tp}(\theta^i)) S_{lpv}^{-1}(\theta^i) \right\|_{\max} \cdot 100\%, \\ E_{\text{mean}} &= \frac{1}{n_s} \sum_{i=1}^{n_s} \left\| (S_{lpv}(\theta^i) - S_{tp}(\theta^i)) S_{lpv}^{-1}(\theta^i) \right\|_{\max} \cdot 100\%, \end{aligned}$$

где  $n_s$  – размер случайной выборки,  $\theta^i$  –  $i$ -е случайное сочетание вектора варьируемых параметров,  $S_{lpv}(\theta^i)$ ,  $S_{tp}(\theta^i)$  – матрицы системы  $S(\theta)$  для qLPV модели и её ТР-представления.

Диапазоны варьируемых параметров представлены таблицей 1. Точность полученного ТР-представления для системы (39) сведена в таблицу 2. Весовые функции, полученные в результате разложения по варьируемым параметрам представлены на рисунке 1.

Таблица 1: Диапазоны изменяемых параметров в боковом канале

Параметр	Наименование	Диапазон	Размерность сетки	Единицы измерения
$H$	Высота	[0 8000]	9	м
$M$	Число Маха	[0,2 0,6]	5	–
$\beta$	Угол скольжения	[-7 7]	25	град
$\delta_n$	Угол отклонения руля направления	[-12 12]	25	град

Таблица 2: Точность аппроксимации для бокового канала

Ошибка	Значение, %
Максимальная ( $E_{\max}$ )	1,94
Средняя ( $E_{\text{mean}}$ )	0,43

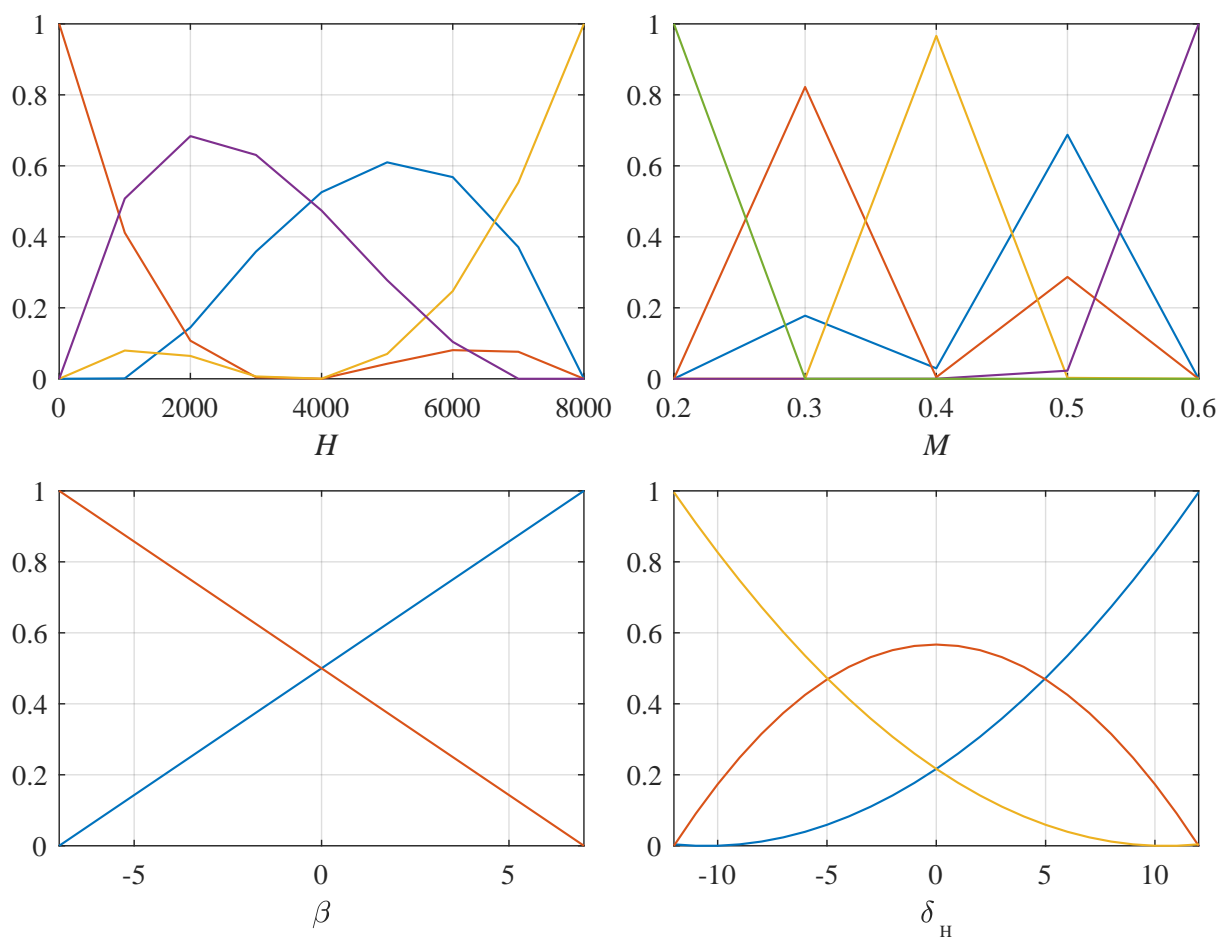


Рис. 1: Весовые функции от варьируемых параметров

Матрицы системы, образующие вершины политопа, полученного ТР-разложением в редуцированной сетке размера  $4 \times 5 \times 2 \times 3$  вектора варьируемых параметров, частично представлены следующим набором непрерывных систем:

$$S_{1111} = \begin{bmatrix} -0,2612 & 1 & -0,1198 & 0 \\ -13,4894 & 0 & -69,4779 & 0 \\ 0 & 0 & -66,6667 & 66,6667 \\ -0,0794 & 0 & -0,0369 & 0 \\ 0 & 1 & 0 & 0 \end{bmatrix}, \dots, S_{4523} = \begin{bmatrix} -0,2326 & 1 & -0,1204 & 0 \\ -6,2961 & 0 & -27,8468 & 0 \\ 0 & 0 & -66,6667 & 66,6667 \\ -0,0277 & 0 & -0,0144 & 0 \\ 0 & 1 & 0 & 0 \end{bmatrix}.$$

Далее перейдём в дискретную область с частотой дискретизации 200 Гц.

Поскольку матрица выхода системы (39) зависит от параметров, введём в качестве пост-фильтра [6] следующее дискретное звено  $W_{pof}$ :

$$W_{pof} = \frac{0,6321}{z - 0,3679}.$$

Формирующие фильтры [6], задающие ограничения в частотной области в дискретном времени, имеют вид:

$$W_1 = \begin{bmatrix} \frac{0,014z-0,00597}{z-0,999} & 0 \\ 0 & 0 \end{bmatrix}, W_3 = \frac{10,006z - 10,006}{z - 0,00062}.$$

Тогда матрицы системы в форме (24) представляются следующим набором:

$$S_{1111}^d = \begin{bmatrix} 0,9992 & 0 & -4,998 & 0 & 0 & 0 & 0 & 0,005 & 0 & 0 \\ 0 & 0,9927 & 4,9817 & 0 & 0 & 0 & 0 & 0 & 0 & 0 \\ 0 & 0 & 0,0067 & 0 & -0,0001 & 0 & -0,0024 & 0 & 0 & 0 \\ 0 & 0 & 0 & 0,0067 & 0 & 0,0010 & -0,0115 & 0 & 0 & 0 \\ 0 & 0 & 0 & 0 & 0,9985 & 0,0050 & -0,0977 & 0 & 0 & 0 \\ 0 & 0 & 0 & 0 & -0,0674 & 0,9998 & -23,156 & 0 & 0 & 0 \\ 1,6057 & 0 & -14,0143 & 0 & 0 & 0 & 0 & 0,7165 & 0 & 0,00043 \\ 0 & 0 & 0 & 0 & 0 & 0 & 0 & 0 & 0 & 0 \\ 0 & -1,6072 & 1095,9821 & 0 & 0 & 0 & 0 & 0 & 0 & 0 \\ 0 & 0 & 0 & 0 & 0 & 0 & 0 & 0 & 0 & 0 \\ 0 & 0 & -1000 & 0 & 0 & 0 & 0 & 0 & 1 & 0 \\ 0 & 0 & 0 & -1000 & 0 & 0 & 0 & 0 & 0 & 1 \end{bmatrix},$$

⋮

$$S_{4523}^d = \begin{bmatrix} 0,9992 & 0 & -4,998 & 0 & 0 & 0 & 0 & 0,005 & 0 & 0 \\ 0 & 0,9927 & 4,9817 & 0 & 0 & 0 & 0 & 0 & 0 & 0 \\ 0 & 0 & 0,0067 & 0 & 0 & 0,001 & -0,001 & 0 & 0 & 0 \\ 0 & 0 & 0 & 0,0067 & 0 & 0,001 & -0,0046 & 0 & 0 & 0 \\ 0 & 0 & 0 & 0 & 0,9988 & 0,005 & -0,0633 & 0 & 0 & 0 \\ 0 & 0 & 0 & 0 & -0,0315 & 0,9999 & -9,2813 & 0 & 0 & 0 \\ 1,6057 & 0 & -14,0143 & 0 & 0 & 0 & 0 & 0,7165 & 0 & 0,00043 \\ 0 & 0 & 0 & 0 & 0 & 0 & 0 & 0 & 0 & 0 \\ 0 & -1,6072 & 1095,9821 & 0 & 0 & 0 & 0 & 0 & 0 & 0 \\ 0 & 0 & 0 & 0 & 0 & 0 & 0 & 0 & 0 & 0 \\ 0 & 0 & -1000 & 0 & 0 & 0 & 0 & 0 & 1 & 0 \\ 0 & 0 & 0 & -1000 & 0 & 0 & 0 & 0 & 0 & 1 \end{bmatrix}.$$

Проведем синтез для дискретной модели на основе техники, рассмотренной в п. 4.2. Матрицы системы регулятора частично представлены следующим набором:

$$\hat{\Theta}_{1111}^d = \begin{bmatrix} 0,8385 & -0,0313 & -0,7724 & -0,2452 & -0,0117 & 0,0112 & 0,0007 \\ -0,0047 & 0,9957 & -0,6605 & -0,0835 & 0,0017 & 0,0034 & 0,0007 \\ 0,0138 & 0,0120 & 0,7272 & 0,0542 & 0,0061 & -0,0002 & -0,0007 \\ -0,0936 & -0,0172 & -0,4286 & 0,8678 & -0,0054 & -0,0030 & 0,0005 \\ 0,0048 & 0,0025 & -0,2908 & -0,0235 & 0,9943 & -0,0046 & 0,0003 \\ 11,0747 & -3,3292 & 97,9672 & -19,5042 & -1,8052 & 0,1977 & -0,0997 \end{bmatrix},$$

$$\vdots$$

$$\hat{\Theta}_{4523}^d = \begin{bmatrix} 0,8473 & 0,0004 & -0,8554 & -0,0223 & 0,0018 & 0,0109 & 0,0008 \\ 0,0312 & 1,0046 & -0,4908 & -0,0154 & 0,0053 & 0,0037 & 0,0005 \\ 0,0237 & 0,0084 & 0,7982 & 0,0325 & 0,0046 & -0,0001 & -0,0008 \\ -0,0910 & 0,0002 & -0,4873 & 0,9905 & 0,0021 & -0,0032 & 0,0006 \\ 0,0291 & 0,0037 & -0,1564 & -0,0105 & 0,9947 & -0,0044 & 0,0002 \\ 6,0802 & -7,4102 & 86,7443 & -49,2906 & -3,535 & 0,1933 & -0,0923 \end{bmatrix}.$$

Устойчивость замкнутого контура с полученными регуляторами подтверждается расположением внутри единичной окружности корней характеристического полинома замкнутой системы (см. рисунок 2а).

Следуя методике синтеза, приведённой в разд. 4, проведем проверку на асимптотическую устойчивость замкнутой системы с разработанным ТР-регулятором. В результате была получена положительно определённая матрица  $P$ :

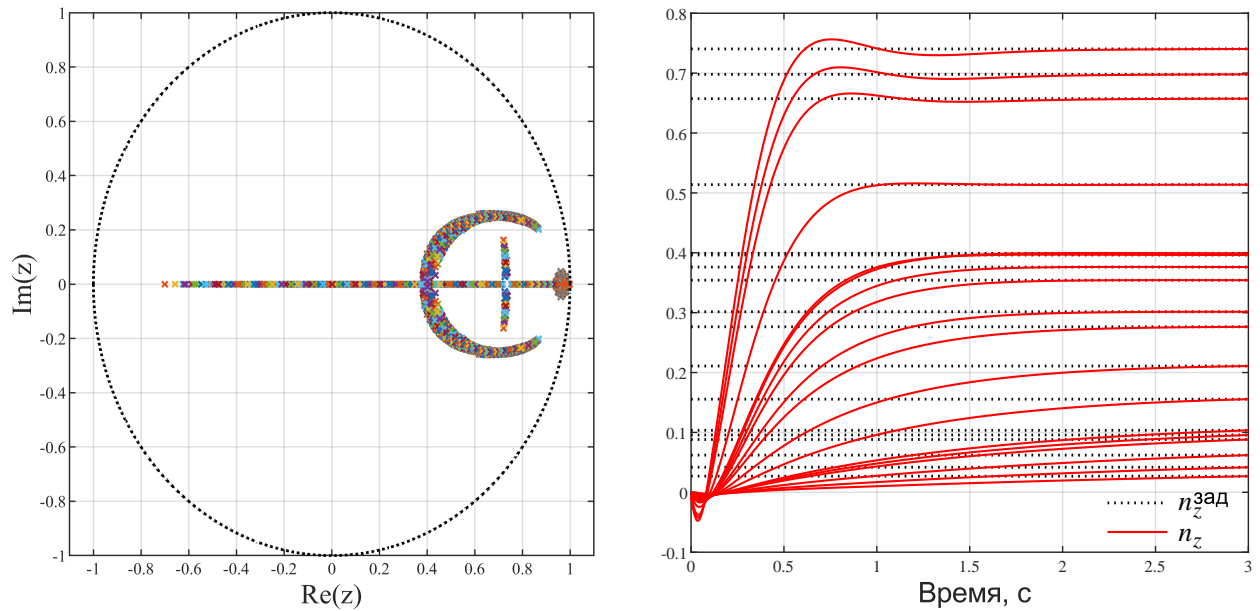
$$\text{eig}P = [2,826 \cdot 10^{-3} \ 1,051 \cdot 10^{-4} \ 4,109 \cdot 10^{-9} \ 1,002 \cdot 10^{-10} \ 2,053 \cdot 10^{-6} \ 2,013 \cdot 10^{-7} \ 4,512 \cdot 10^{-8} \ 1,643 \cdot 10^{-6} \ 1,822 \cdot 10^{-6} \ 1,875 \cdot 10^{-8}] > 0,$$

что подтверждает асимптотическую устойчивость управления во всем диапазоне изменения варьируемых параметров.

Переходная характеристика объекта, описываемого системой (37)–(38), на различных режимах с полученным ТР-регулятором представлена на рисунке 2б. Результаты траекторного моделирования представлены на рисунках 3–5. Их анализ подтверждает качественную отработку заданного сигнала по перегрузке и устойчивость переходных процессов как в характерных фиксированных режимах применения БПЛА, так и при широком изменении варьируемых параметров при траекторной отработке.

## 6 Заключение

В работе была получена методика синтеза адаптивного робастного регулятора в непрерывном и дискретном времени на основе ТР-представления



(а) Расположение корней характеристического полинома на сетке  $9 \times 5 \times 25 \times 25$  (дискретная система)  
 (б) Переходная характеристика во всем диапазоне изменения высоты и числа Маха

Рис. 2: Характеристики замкнутой системы

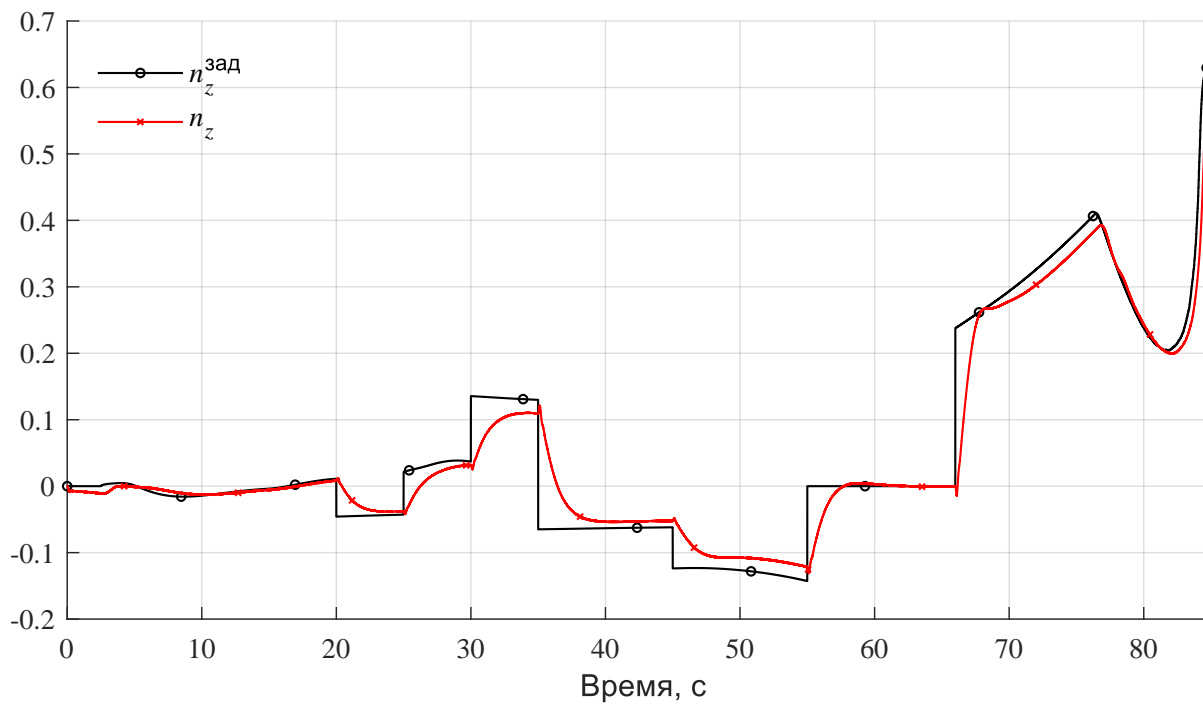


Рис. 3: Отработка заданного сигнала по перегрузке в боковом канале с ТР-регулятором на траектории

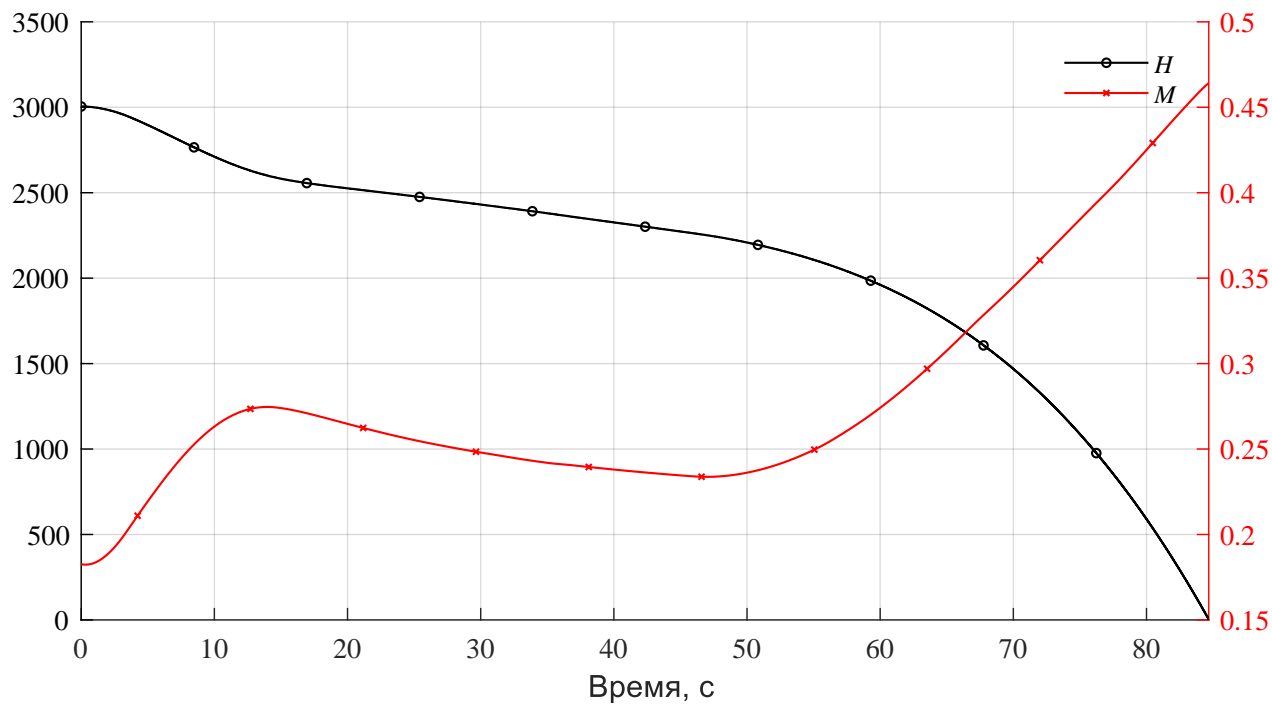


Рис. 4: Изменение высоты и числа Маха при траекторной обработке

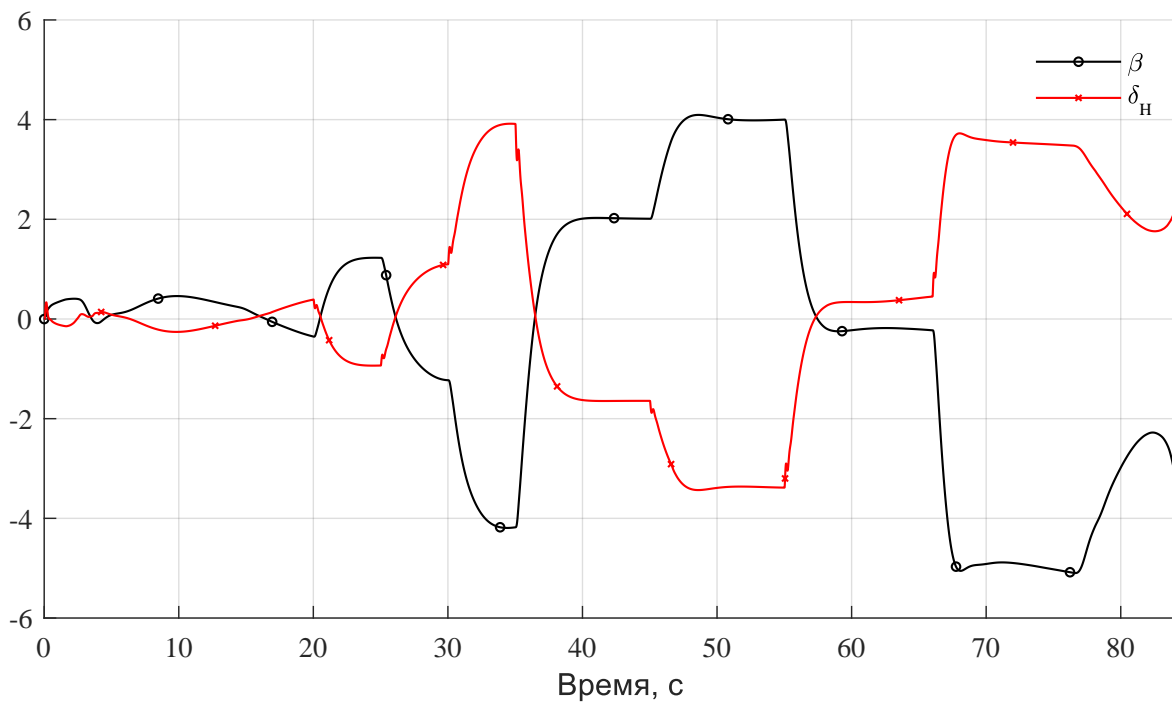


Рис. 5: Изменение угла скольжения и управляющего сигнала в боковом канале при траекторной обработке

qLPV модели нелинейного объекта управления с решением задачи в терминах ЛМН. Анализ результатов численного моделирования бокового движения гипотетического БПЛА подтвердил эффективность применения TP-регулятора. Обеспечиваются устойчивость и необходимое качество переходных процессов как в характерных фиксированных режимах полета, так и при траекторной отработке за счёт адаптации регулятора к варьируемым параметрам. Недостатком рассмотренной методики является отсутствие гарантий на асимптотическую устойчивость замкнутой системы с полученным регулятором на этапе решения задачи синтеза. В таком случае требуется дополнительная проверка замкнутого контура, что также отражается в разработанной методике. Поэтому планируется продолжение исследований в части синтеза управления, обеспечивающего заданное качество функционирования замкнутой системы, в рамках общепринятой теории синтеза TP-регуляторов – с учётом всевозможного движения по выпуклой оболочке (использование ЛМН с «перекрестными произведениями»), что гарантирует асимптотическую устойчивость.

## Список литературы

- [1] Baranyi P., Yam Y., Varlaki P. Tensor Product Model Transformation in Polytopic Model-based Control. CRC Press, Florida, 2013.
- [2] Baranyi P. TP Model Transformation Based Control Design Frameworks. Springer International Publishing Switzerland, 2016.
- [3] Baranyi P. Convex hull generation methods for polytopic representations of LPV models // 7th International Symposium on Applied Machine Intelligence and Informatics, 2009, doi:10.1109/sami.2009.4956611.
- [4] Skogestad S., Postlethwaite I. Multivariable Feedback Control: Analysis and Design. John Wiley & Sons, Inc., 2001.
- [5] Gahinet P., Apkarian P. A linear matrix inequality approach to  $H_\infty$  control // International Journal of Robust and Nonlinear Control, 4(4), 421–448, 1994, doi:10.1002/rnc.4590040403.
- [6] Apkarian P., Gahinet P., Becker G. Self-scheduled  $H_\infty$  control of linear parameter-varying systems: a design example // Automatica, Volume 31, Issue 9, Pages 1251-1261, 1995, doi:10.1016/0005-1098(95)00038-X.

- [7] Chumalee S., Whidborne J. LPV Autopilot Design of a Jindivik UAV // AIAA Guidance, Navigation, and Control Conference, 2009, doi:10.2514/6.2009-5753.
- [8] Dullerud G.E., Paganini F. A Course in Robust Control Theory. Texts in Applied Mathematics. Springer Science + Business Media, Inc., 2000, doi:10.1007/978-1-4757-3290-0.
- [9] Tanaka K., Wang H.O. Fuzzy Control Systems Design and Analysis: A Linear Matrix Inequality Approach. John Wiley & Sons, Inc., 2001, doi:10.1002/0471224596.
- [10] Szollosi A., Baranyi P. Influence of the Tensor Product Model Representation Of QLPV Models on The Feasibility of Linear Matrix Inequality // Asian Journal of Control, 18(4), 1328–1342, 2015, doi:10.1002/asjc.1238.
- [11] Baranyi P. TP model transformation as a way to LMI-based controller design // IEEE Transactions on Industrial Electronics, vol. 51, no. 2, pp. 387-400, April 2004, doi: 10.1109/TIE.2003.822037.
- [12] Szeidl L., Baranyi P., Petres Z., Varlaki P. Numerical Reconstruction of the HOSVD Based Canonical Form of Polytopic Dynamic Models // 3rd International Symposium on Computational Intelligence and Intelligent Informatics, 2007, doi:10.1109/isicii.2007.367372.
- [13] Apkarian P., Gahinet P. A convex characterization of gain-scheduled  $H_\infty$  controllers // IEEE Transactions on Automatic Control, vol. 40, no. 5, pp. 853-864, May 1995, doi: 10.1109/9.384219.
- [14] Емельянова Ю.П., Пакшин П.В. Матричные уравнения и неравенства в задачах теории управления: учеб. пособие. Нижегород. гос. техн. ун-т им. Р.Е. Алексеева. – Нижний Новгород, 2020.
- [15] Ефремов А.В., Захарченко В.Ф., Овчаренко В.Н. Динамика полета: Учебник для студентов высших учебных заведений. М.: Машиностроение, 2011.
- [16] Топчеев Ю. И., Потемкин В. Г., Иваненко В. Г. Системы стабилизации. М.: Машиностроение, 1974.



## Design of an adaptive robust controller based on the representation of a quasi-linear model in the form of a tensor product

Shabashov A.A., Pozdyaev V.V., Plotnikov A.A.

JSC «Arzamas Research and Production Enterprise «TEMP-AVIA»  
Arzamas Polytechnic Institute (branch) of the Nizhny Novgorod State Technical  
University n. a. R.E. Alekseev

aa.shabashov@mail.ru

**Abstract.** The problem of synthesizing an adaptive robust controller using a tensor representation of a quasi-linear parameter-varying model is considered. This type of approximation of nonlinear dynamical systems can be reduced to convex polytopic forms in over a given parameter range. As a result, convex programming methods are applicable to them, including formulation of the problem in terms of linear matrix inequalities. The theory of  $H_\infty$ -optimal control is used as a technique for the synthesis of robust controllers. The result of the synthesis is a tensor model that describes a family of robust controllers that ensure stability and controllability of the object for the entire range of varied parameters.

**Key words:** linear matrix inequalities, quasi-linear parameter-varying model, tensor product, robust controllers, adaptive controllers.